

НЕКОТОРЫЕ ВОПРОСЫ РАСПРОСТРАНЕНИЯ УДАРНЫХ ВОЛН В ТВЕРДЫХ ТЕЛАХ

Л. П. Орленко

(Москва)

Исследуются некоторые вопросы, связанные с моделированием распространения ударных волн в металлических плитах (сталь, дюралюминий, медь) при детонации заряда ВВ в контакте с поверхностью плиты.

Рассматриваются критерии подобия при распространении одномерных ударных волн в плитах. Приведены обработанные результаты динамической сжимаемости некоторых металлов, необходимые для определения параметров ударной волны в металлических плитах при моделировании.

1. Сжимаемость различных материалов в ударной волне, возникающей в плите при ударе или при детонации заряда в контакте с поверхностью металлической плиты, экспериментально исследовалась в работах [1-9]. Для этого опытным путем устанавливается зависимость между скоростью ударной волны в плите D и скоростью частиц за фронтом волны u ; при помощи этой экспериментальной зависимости $D = D(u)$ и условий сохранения массы и импульса на фронте ударной волны

$$\rho_0 D = \rho(D - u), \quad p = \rho_0 D u \quad (1.1)$$

можно получить связь между давлением p и плотностью ρ .

В работах [2,3] для больших давлений, превышающих 350-400 тыс. кг/см², экспериментальная зависимость между скоростью ударной волны D и скоростью частиц u аппроксимировалась прямой

$$D = c_0 + \lambda u$$

Зависимость между D и u для меньших давлений (до 0.5 млн. кг/см²) можно также представить прямой линией.

Экспериментальные значения коэффициентов c_0 и λ , полученные на основании экспериментальных работ [1-9], представлены в табл. 1.

Экспериментальные точки из работ [1,2,4-6,9] и аппроксимирующие прямые (из табл. 1) для стали и железа представлены на фиг. 1.

Экспериментальные точки и соответствующие аппроксимирующие прямые (из табл. 1) для алюминия и сплава алюминия из работ [1,3,5,7,8,9], для меди из работ [1,3,7], для свинца из работ [1,3] нанесены на фиг. 2.

Из фиг. 1 видно, что в пределах имеющихся экспериментов зависимость $D = D(u)$ почти не зависит от марки стали.

Для железа Армко [6] имеет место ярко выраженное полиморфное превращение из α -железа в γ -железо, при этом резко меняется скорость ударной волны от величины 5100-5200 м/сек до 2800 м/сек; до точки полиморфного превращения зависимость $D = D(u)$ для железа Армко мало отличается от аналогичной зависимости для стали.

Таблица 1

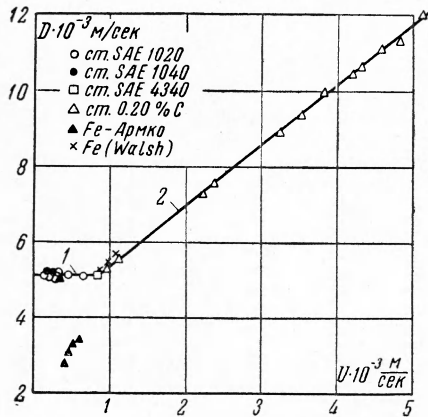
Материал	c_0 , м/сек	λ	При u [м/сек]
Сталь [2,3]	3 800	1.58	>825
Сталь	5 100	0	<825
Алюминий и сплав алюминия	5 290	1.36	<2 190
Медь	4 000	1.43	<4 200
Свинец	1 970	1.57	<1 100
Свинец [2,3]	2 300	1.27	>1 100

Из фиг. 1 следует, что в пределах имеющихся экспериментов для стали скорость ударной волны D в первом приближении можно считать постоянной вплоть до $u = 825$ м/сек.

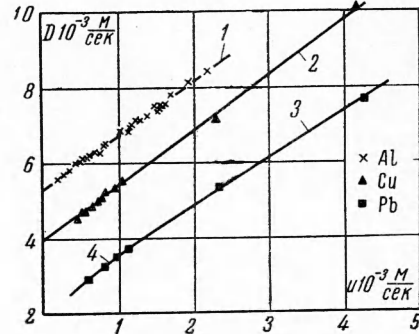
Уравнение динамической сжимаемости твердых тел $p = p(\rho)$ можно представить в следующем виде:

$$p = A \left(\frac{\rho}{\rho_0} \right)^n + B \quad (1.2)$$

Численные значения постоянных коэффициентов A, B, n , определенные на основании работ [1-9], представлены в табл. 2.



Фиг. 1. Зависимость скорости ударной волны D от скорости частиц u для стали и железа. Уравнение аппроксимирующих прямых: 1 — $D = 5100$; 2 — $D = 3800 + 1.58 u$



Фиг. 2. Зависимость скорости ударной волны D от скорости частиц u для алюминия, меди и свинца. Уравнение аппроксимирующих линий: 1 — $D = 5290 + 1.36 u$; 2 — $D = 4000 + 1.43 u$; 3 — $D = 2300 + 1.27 u$; 4 — $D = 1970 + 1.57 u$

Экспериментальные точки из работ [1-9] и соответствующие им аппроксимирующие кривые (из табл. 2) представлены для стали и железа на фиг. 3 и 4.

Таблица 2

Материал	$A, \text{кг/см}^2$	$B, \text{кг/см}^2$	n	$p \cdot 10^{-6} \text{кг/см}^2$
Сталь	553 000	-541 000	3	<0.165
»	142 500	-67 100	6	<1.35
»	54 100	+130 000	8.13	>1.35
Сплав алюминия 24	235 000	-241 800	3.8	<0.5
Медь	310 000	-310 000	4.65	<0.5
Свинец	94 000	-94 000	5	<0.5

Для небольших давлений ($p < 15\,000 \text{ кг/см}^2$), соответствующих упругому объемному сжатию, зависимость между p и ρ для стали может быть представлена так:

$$p = 285 \cdot 10^4 \theta \quad \left(\theta = 1 - \frac{\rho_0}{\rho} \right) \quad (1.3)$$

Этому уравнению соответствует скорость упругой волны $a = 5970$ м/сек.

Экспериментальные точки для различных сталей при $p < 400\,000 \text{ кг/см}^2$ могут быть в первом приближении аппроксимированы прямой

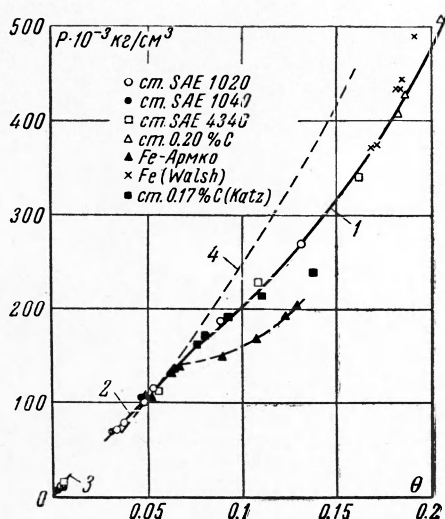
$$p = 208 \cdot 10^4 \theta + 0.386 \cdot 10^4 \text{ кг/см}^2 \quad (1.4)$$

Этой зависимости соответствует средняя скорость ударной волны $D = 5100$ м/сек.

Из фиг. 3 видно, что при $p \approx 170\,000$ кг/см² для стали, очевидно, имеет место полиморфное превращение, подобно тому, как это имеет место для железа Армко [6]. На фиг. 4 для сравнения нанесена кривая статической сжимаемости Бриджмена [10] для чистого железа

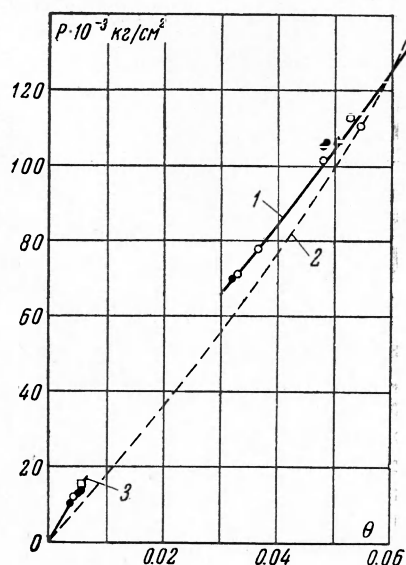
$$\theta = 5.826 \cdot 10^{-7} p - 0.8 \cdot 10^{-12} p^2 \quad (1.5)$$

Это уравнение аппроксимирует экспериментальные точки для $p = 30\,000$ кг/см² при $T = 24^\circ$ С.



Фиг. 3. Кривые динамической сжимаемости стали и железа для $p < 0.5$ млн. кг/см². Уравнение аппроксимирующих линий:

$$\begin{aligned} 1 - p &= 142.5 \cdot 10^3 (\rho/\rho_0)^6 - 67.1 \cdot 10^3; \\ 2 - p &= 553 \cdot 10^3 (\rho/\rho_0)^3 - 541 \cdot 10^3; \\ 3 - p &= 285 \cdot 10^4 \theta; \\ 4 - p &= 450 \cdot 10^3 [(\rho/\rho_0)^4 - 1] \end{aligned}$$



Фиг. 4. Кривые динамической сжимаемости стали и железа для $p < 0.12$ млн. кг/см². Уравнения аппроксимирующих линий:

$$\begin{aligned} 1 - p &= 553 \cdot 10^3 (\rho/\rho_0)^3 - 541 \cdot 10^3; \\ 2 - \theta &= 5.827 \times 10^{-7} p - 0.8 \cdot 10^{-12} p^2; \\ 3 - p &= 285 \cdot 10^4 \theta. \end{aligned}$$

Из фиг. 4 видно, что статическая сжимаемость существенно больше сжимаемости в динамических условиях до давлений $p = 15\,000$ кг/см², но кривая Бриджмена была получена в условиях всестороннего сжатия, при этом p в формуле (1.5) означает гидростатическое давление; динамическая прямая (1.3) получена при помощи плоской ударной волны, движущейся в одном направлении, при этом p в уравнении (1.3) означает напряжение $\sigma_{xx} = -p$; следовательно, если учесть, что при данных условиях опыта боковых перемещений нет, т. е. $\epsilon_{yy} = \epsilon_{zz} = 0$, а θ в формуле (1.3) равна относительной объемной деформации $\epsilon_{xx} = -\theta = -\rho_0/\rho - 1$, то из закона Гука при $\sigma_{yy} = \sigma_{zz}$ можно получить

$$\sigma_{xx} = (\lambda + 2\mu) \epsilon_{xx}$$

Если принять для коэффициента Ляме λ и μ их статические значения $\lambda = 11.2 \cdot 10^{11}$ дин/см² и $\mu = 8.1 \cdot 10^{11}$ дин/см², то получим $\sigma_{xx} = -283 \cdot 10^4 \theta$ кг/см².

Угловым коэффициентом этого уравнения отличается от углового коэффициента прямой (1.3) в пределах 2%.

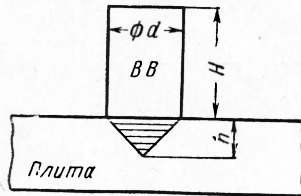
Для больших давлений непосредственное сравнение затруднительно, так как нет совпадающих по амплитуде экспериментов.

На фиг. 3 для сравнения нанесена кривая динамической сжимаемости, полученная в работе [11] для стали

$$p = 450\,000 \left[\left(\frac{p}{p_0} \right)^4 - 1 \right] \text{ кг/см}^2$$

Эта зависимость при $p = 400\,000 \text{ кг/см}^2$ дает уменьшенную на 35% относительную сжимаемость.

2. Рассмотрим моделирование распространения волн сжатия в твердом теле при детонации цилиндрического заряда в контакте с поверхностью плиты (фиг. 5). В этом случае в твердом теле будет существовать некоторая область, где движение можно считать одномерным (эта область заштрихована на фиг. 5).



Фиг. 5. К определению зоны одномерного движения

Оценим глубину этой зоны h . Если плита, по которой распространяется волна сжатия стальная, то скорость ударной волны можно принять равной 5100 м/сек , а скорость боковой волны разрежения примем равной скорости упругой волны 6000 м/сек .

Отсюда глубина одномерной зоны будет равна $h < 0.425 d$.

В случае распространения ударной волны в стали [12] ее скорость можно принять постоянной и равной a_2 , а скорость волны разгрузки примем равной a_1 , максимальное давление на поверхности плиты пусть будет p_m , начальная плотность материала плиты ρ_0 , удельный импульс на поверхности плиты пусть равен i , а форма импульса характеризуется постоянной времени α , которая имеет размерность $1/\text{сек}$; надо определить давление p , скорость u и плотность ρ как функции вышеперечисленных констант, а также времени t и расстояния x .

Систему определяющих параметров этой задачи можно записать в виде

$$i, \rho_0, p_m, a_2, a_1, \alpha, t, x \quad (2.1)$$

Из этой системы параметров можно образовать пять безразмерных комбинаций, так как согласно общей теории размерности [13] в системе параметров (2.1) имеются три параметра с независимыми размерностями. Эти безразмерные комбинации имеют вид

$$\frac{a_1}{a_2}, \quad \frac{i}{a_2} \sqrt{\frac{p_m}{\rho_0}}, \quad \frac{p_m}{\alpha i}, \quad \frac{x \rho_0 a_2}{i}, \quad \frac{t \rho_0 a_2}{i} \sqrt{\frac{p_m}{\rho_0}} \quad (2.2)$$

Очевидно, что, кроме соблюдения геометрического подобия, необходимым условием подобия двух явлений будет равенство первых трех безразмерных комбинаций, т. е. для натурального и модельного явлений должно выполняться

$$\frac{a_1}{a_2} = \frac{a_1^*}{a_2^*}, \quad \frac{1}{a_2^*} \sqrt{\frac{p_m^*}{\rho_0^*}} = \frac{1}{a_2} \sqrt{\frac{p_m}{\rho_0}}, \quad \frac{p_m}{\alpha i} = \frac{p_m^*}{\alpha^* i^*} \quad (2.3)$$

При соблюдении этих равенств будем иметь одинаковые безразмерные значения для давления p , скорости u и плотности ρ при одних и тех же значениях переменных безразмерных комбинаций

$$\frac{x \rho_0 a_2}{i} = \frac{x^* \rho_0^* a_2^*}{i^*}, \quad \frac{t \rho_0 a_2}{i} \sqrt{\frac{p_m}{\rho_0}} = \frac{t^* \rho_0^* a_2^*}{i^*} \sqrt{\frac{p_m^*}{\rho_0^*}} \quad (2.4)$$

Рассмотрим некоторые частичные случаи.

а) Пусть в натурном и модельном явлениях употребляется одно и то же ВВ и один и тот же материал плиты. В этом случае будем иметь

$$D_1 = D_1^*, \quad \rho_1 = \rho_1^*, \quad \rho_0 = \rho_0^*, \quad a_2 = a_2^*, \quad a_1 = a_1^*$$

Отсюда

$$P_m = P_m^*$$

где D_1 — скорость детонации, ρ — плотность взрывчатого вещества.

Таким образом, вместо (2.3) получим

$$\alpha i = \alpha^* i^* \quad (2.5)$$

При соблюдении геометрического подобия это равенство сохраняется.

Следовательно, если в натурном и модельном явлениях употребляется одно и то же ВВ и один и тот же материал плиты, то для подобия двух явлений достаточно геометрического подобия, при этом одинаковое значение параметров в натурной и модельной плитах будет иметь место при следующих равенствах:

$$x/x^* = i/i^*, \quad t/t^* = i/i^* \quad (2.6)$$

Если, например, для короткого заряда ($H < 2.25d$) удельный импульс определяется зависимостью [11]

$$i = \frac{8}{27} D_1 \rho_1 H \left(\frac{4}{9} - \frac{16H}{81d} + \frac{64}{2197} H^2/d^2 \right) \quad (2.7)$$

то (2.6) примет вид

$$\frac{x}{H} = \frac{x^*}{H^*}, \quad \frac{t}{i^*} = \frac{H}{H^*}$$

Для длинного заряда ($H > 2.25d$) имеем $i = \frac{8}{81} \rho_1 D_1 d$. Из (2.6) следует

$$x/d = x^*/d^*, \quad t/t^* = d/d^* \quad (2.8)$$

Если в натурном и модельном явлениях употребляется один и тот же материал, т. е. $a_2 = a_2^*$, $\rho_0 = \rho_0^*$, $a_1 = a_1^*$, то для соблюдения подобия должно употребляться одно и то же ВВ, так как $p_m = p_m^*$ согласно (2.3).

б) Рассмотрим подобие двух одномерных явлений распространения волн сжатия в случае, если нагружение материала плиты подчиняется уравнению (1.2), а закон разгрузки имеет линейный характер. В этом случае систему определяющих параметров можно записать в виде

$$i, p_m, \alpha, A = \gamma B, B, n, \rho_0, a_1, x, t \quad (2.9)$$

Здесь A и B имеют размерность делений, a, γ и n — безразмерные постоянные коэффициенты. В этом случае условия подобия двух явлений натурного и модельного будут те же, что и в предыдущем случае, но к безразмерной системе параметров добавляется γ, n .

Если законы нагрузки и разгрузки совпадают [14], то система определяющих параметров запишется в виде

$$i, p_m, \alpha, \rho_0, A, B, n, x, t \quad (2.10)$$

Из этой системы определяющих параметров можно образовать только шесть безразмерных комбинаций: четыре постоянные и две переменные

$$n, \frac{A}{B}, \frac{p_m}{A}, \frac{p_m}{\alpha i}, \frac{x p_0}{i} \sqrt{\frac{p_m}{\rho_0}}, \frac{t p_m}{i} \quad (2.11)$$

Если в натурном и модельном процессах применяется одно и то же ВВ и материал плиты одинаков, то $p_m = p_m^*$, $A = A^*$, $B = B^*$, $n = n^*$. Таким образом, критерии подобия будут прежними.

Если материал плиты один и тот же, то подобие может иметь место только при $p_m = p_m^*$, следовательно, ВВ должно быть также одно и то же.

3. На основании некоторых экспериментальных работ установим связь между скоростью частиц на фронте ударной волны и пройденным волной расстоянием для стали, меди и дюралюминия.

Связь между скоростью частиц u и расстоянием, пройденным волной x , можно аппроксимировать уравнением следующего вида:

$$u = \alpha \left(1 + \beta \frac{x}{H} \right)^\gamma \quad (3.1)$$

Значение коэффициентов α, β, γ приведены в табл. 3.

Таблица 3

Работа	α м/сек	β	γ	Материал	Условия
[4]	915	-0.606	1	Сталь	} $\frac{x}{H} < 1, \frac{H}{d} \approx \frac{1}{3}$ } $\frac{H}{d} < 1, \frac{x}{H} < 0.425 \frac{d}{H}$
[7]	1680	4.8	-0.236	Сплав алюминия	
[7]	1000	7	-0.214	Медь	

Экспериментальные данные (см., например, [7]) непосредственно показывают, что на одинаковых расстояниях (см. (2.7)) в разных опытах параметры волны оказываются равными.

4. Определим параметры ударной волны в зависимости от расстояния x , если известно $D = D(x)$ или $u = u(x)$. На фронте ударной волны

$$\Delta E = \frac{p + p_0}{2} \left(\frac{1}{\rho_0} - \frac{1}{\rho} \right), \quad p - p_0 = \rho_0 D u, \quad \rho_0 D = \rho (D - u) \quad (4.1)$$

Если известна зависимость скорости ударной волны D от скорости частиц, т. е. $u = u(D)$, то, пренебрегая начальным давлением p_0 по сравнению с давлением на фронте ударной волны, получим

$$p = \rho_0 D u(D), \quad \rho = \rho_0 \frac{D}{D - u(D)}, \quad \Delta E = \frac{u^2(D)}{2} \quad (4.2)$$

Если экспериментально известна зависимость $D = D(x)$, полученная в лабораторных условиях для небольшой модели, геометрически подобной натурному объекту при условии использования одного и того же ВВ и одного и того же материала плиты, то при помощи уравнений (4.2) и условий моделирования, изложенных выше, можно получить все параметры ударной волны в зависимости от x . Функция $u = u(D)$ может быть определена на основании экспериментов (см. табл. 1).

Если материал плиты сталь, то при детонации ВВ на поверхности плиты скорость ударной волны D можно считать постоянной (п. 1) и, следовательно, уравнения (4.1) можно записать в следующем виде

$$p = \rho_0 D u(x), \quad \rho = \frac{\rho_0 D}{D - u(x)}, \quad \Delta E = \frac{u^2(x)}{2} \quad \left(\begin{array}{l} \rho_0 = 7.85 \text{ г/см}^3 \\ D = 5100 \text{ м/сек} \end{array} \right) \quad (4.3)$$

В этом случае необходимо экспериментальное определение $u = u(x)$.

Поступила 16 IX 1960

ЛИТЕРАТУРА

1. Walsh I. M. Equation of state for metals. Physical Review, 1957, v. 108, p. 196.
2. Альтшуллер Л. В. Динамическая сжимаемость и уравнение состояния железа при высоких давлениях. ЖЭТФ, 1958, т. 34, вып. 4.
3. Альтшуллер Л. В. Динамическая сжимаемость металлов при давлении от 0.4 до 4 млн. атмосфер. ЖЭТФ, 1958, т. 34, вып. 4.
4. Minshall S. Properties of elastic and plastic waves determined by pin contactors crystals. J. Appl. Phys., 1955, v. 26, p. 463.
5. Coganson R. W. Dynamic determination of the compressibility of metals. J. Appl. Phys., 1955, v. 26, p. 1472.
6. Bancroft D. Polymorphism of iron at high pressure. Jour. of appl. Phys, 1956, v. 27, No 3.
7. Уолш и Кристьян. Уравнение состояния металлов по измерениям ударной волны. Сб. пер. Механика, 1956, No 2.
8. Mallory M. Shock waves propagation in Al. L. Appl. Phys., 1955, v. 26, No 5.
9. Katz S. Gugoniot's equation of state for Al and steel from the measurements of oblique shock waves. J. Appl. Phys. 1959, v. 3, № 4.
10. Бриджмен. Новейшие работы в области высоких давлений. ИИЛ, 1948.
11. Баум Ф. А., Станюкович К. П., Шехтер Б. И. Физика взрыва, ГИТТЛ, 1959.
12. Орленко Л. П. Распространение ударных волн в плите конечной толщины. Докл. вузов, Физмат, 1959, № 1.
13. Седов Л. И. Методы подобия и размерности в механике. ГИТТЛ, 1954.
14. Орленко Л. П., Станюкович К. П. Ударные волны в твердых телах. Изв. вузов, Физика, 1958, № 6.